

脑科学与类脑系统 Homework 01

Problem 1

根据表格给出的膜内外离子浓度计算温度 T 从 6°C 每隔 1°C 逐渐升高到 40°C 过程中静息膜电位的变化. 假设 K^{+} , Na^{+} , Cl^{-} 渗透率的比例 $\pi_{\text{K}^{+}} : \pi_{\text{Na}^{+}} : \pi_{\text{Cl}^{-}} = 1 : 0.03 : 0.1$ 且与温度 T 无关. 请将结果绘制成图像.

	Internal concentration (mM)	External concentration (mM)	Can it cross plasma membrane?
K^{+}	125	5	Y
Na^{+}	12	120	N*
Cl^{-}	5	125	Y

Solution:

一般来说, 当 E_{rest} 由多种离子决定时, 它们的贡献 (即它们的通量) 取决于其浓度梯度和其跨膜的难易程度 (即渗透性)

静息膜电位 E_{rest} 对多种离子的渗透性和浓度梯度的依赖性可由 **Goldman-Hodgkin-Katz 方程** 给出:

$$E_{\text{rest}} = \frac{RT}{F} \log \left(\frac{\pi_{\text{K}^{+}}[\text{K}^{+}]_{\text{out}} + \pi_{\text{Na}^{+}}[\text{Na}^{+}]_{\text{out}} + \pi_{\text{Cl}^{-}}[\text{Cl}^{-}]_{\text{in}}}{\pi_{\text{K}^{+}}[\text{K}^{+}]_{\text{in}} + \pi_{\text{Na}^{+}}[\text{Na}^{+}]_{\text{in}} + \pi_{\text{Cl}^{-}}[\text{Cl}^{-}]_{\text{out}}} \right)$$

其中 $\pi_{\text{K}^{+}}$, $\pi_{\text{Na}^{+}}$, $\pi_{\text{Cl}^{-}}$ 为 K^{+} , Na^{+} , Cl^{-} 的渗透率, 单位为 cm/s

它表征的是局部浓度梯度驱动下离子扩散的平均速率.

而 $R = 8.314 \text{ J}/(\text{mol} \cdot \text{K})$ 为理想气体常数, $F = 96485 \text{ C/mol}$ 为 Faraday 常数.

$[\text{X}]_{\text{in}}$, $[\text{X}]_{\text{out}}$ 分别为离子 X 在胞内外的 (自由) 离子浓度.

使用 Goldman-Hodgkin-Katz 方程计算静息膜电位 E_{rest} 的 Matlab 函数为:

```
function E_rest = calculate_resting_membrane_potential(permeabilities, concentrations, T)
% 基于Goldman-Hodgkin-Katz方程计算静息膜电位
% 输入:
%   permeabilities - 渗透率比例, 1x3数组 [P_K, P_Na, P_Cl]
%   concentrations - 离子浓度, 3x2数组 [K_in, K_out; Na_in, Na_out; Cl_in, Cl_out]
%   T - 温度, 默认单位为摄氏度, 转换为绝对温度

% 常数
R = 8.314; % J/(mol*K), 理想气体常数
F = 96485; % C/mol, 法拉第常数

% 温度转换为开尔文
T_K = T + 273.15;

% 渗透率
P_K = permeabilities(1);
P_Na = permeabilities(2);
P_Cl = permeabilities(3);

% 离子浓度
K_in = concentrations(1, 1);
K_out = concentrations(1, 2);
Na_in = concentrations(2, 1);
Na_out = concentrations(2, 2);
```

```

Cl_in = concentrations(3, 1);
Cl_out = concentrations(3, 2);

% GHK方程计算
numerator = P_K * K_out + P_Na * Na_out + P_Cl * Cl_in;
denominator = P_K * K_in + P_Na * Na_in + P_Cl * Cl_out;

% 计算膜电位
E_rest = (R * T_K / F) * log(numerator / denominator);

% 输出结果为毫伏(mV)
E_rest = E_rest * 1000;
end

```

函数调用:

```

% 渗透率比例
permeabilities = [1, 0.03, 0.1];

% 离子浓度数组, 格式: [K_in, K_out; Na_in, Na_out; Cl_in, Cl_out]
concentrations = [125, 5; 12, 120; 5, 125];

% 温度范围, 从6°C到40°C, 每隔1°C
T_range = 6:1:40;

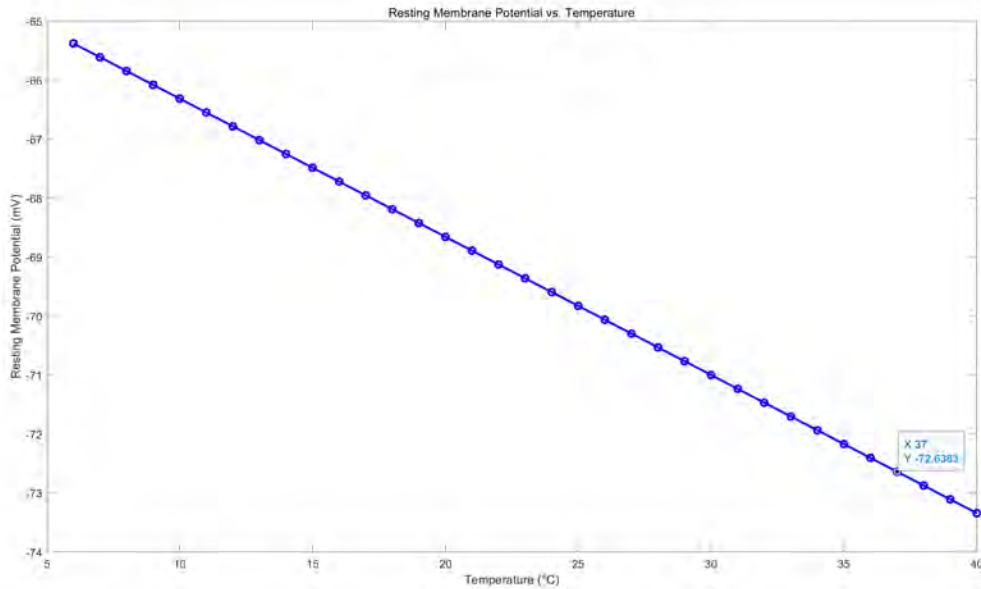
% 初始化存储静息膜电位的数组
E_rest_values = zeros(length(T_range), 1);

% 计算不同温度下的静息膜电位
for i = 1:length(T_range)
    E_rest_values(i) = calculate_resting_membrane_potential(permeabilities,
        concentrations, T_range(i));
end

% 绘制图像
figure;
plot(T_range, E_rest_values, 'b-o', 'Linewidth', 2);
xlabel('Temperature (°C)');
ylabel('Resting Membrane Potential (mV)');
title('Resting Membrane Potential vs. Temperature');
grid on;

```

运行结果:



Problem 2

一个球状细胞的比膜电容 $c_m = 1\mu\text{F}/\text{cm}^2$

假设细胞内外离子浓度均为 0.5 mol/L (且设这些离子的电荷数都是 1)

设该细胞的静息膜电位为 $E_{\text{rest}} = -80\text{mV}$, 直径为 $d = 25\mu\text{m}$.

试计算胞内外不平衡的电荷占胞内总电荷的百分比?

Solution:

记 $N_A = 6.02 \times 10^{23}\text{mol}^{-1}$ 为 Avogadro 常数, $F = 96485\text{C/mol}$ 为 Faraday 常数.

$e = 1.602 \times 10^{-19}\text{C}$ 为单位电荷的库伦数

- 首先计算胞内总电荷量的绝对值 (单位为 C):

$$\begin{aligned}
 q_{\text{in}} &= F \cdot z_{\text{ion}} \cdot [\text{ion}]_{\text{in}} \cdot V_{\text{cell}} \\
 &= F \cdot z_{\text{ion}} \cdot [\text{ion}]_{\text{in}} \cdot \frac{4}{3}\pi\left(\frac{d}{2}\right)^3 \\
 &= 96485\text{C/mol} \times 1 \times 0.5\text{ mol/L} \times \frac{4}{3}\pi\left(\frac{1}{2} \times 25\mu\text{m}\right)^3 \\
 &= 96485\text{C/mol} \times 1 \times 0.5 \times 10^3\text{mol/m}^3 \times \frac{4}{3}\pi\left(\frac{1}{2} \times 25 \times 10^{-6}\text{m}\right)^3 \\
 &\approx 4.0 \times 10^{-7}\text{C}
 \end{aligned}$$

- 其次计算细胞膜上的电荷量的绝对值 (单位为 C):

$$\begin{aligned}
 q_m &= C_m \cdot |E_{\text{rest}}| \\
 &= c_m \cdot S_{\text{cell}} \cdot |E_{\text{rest}}| \\
 &= c_m \cdot 4\pi\left(\frac{d}{2}\right)^2 \cdot |E_{\text{rest}}| \\
 &= 1\mu\text{F}/\text{cm}^2 \times 4\pi\left(\frac{1}{2} \times 25\mu\text{m}\right)^2 \times |-80\text{mV}| \\
 &= 1 \times 10^{-2}\text{F/m}^2 \times 4\pi\left(\frac{1}{2} \times 25 \times 10^{-6}\text{m}\right)^2 \times 80 \times 10^{-3}\text{V} \\
 &\approx 1.6 \times 10^{-12}\text{C}
 \end{aligned}$$

- 最后计算胞内外不平衡的电荷占胞内总电荷的百分比:

$$\eta = \frac{q_m}{q_{\text{in}}} = \frac{1.6 \times 10^{-12}\text{C}}{4.0 \times 10^{-7}\text{C}} \times 100\% = 0.0004\%$$

该值表明，不平衡电荷量相对于胞内总电荷量是极小的。

Problem 3

使用四阶 Runge-Kutta 方法模拟动作电位的 Hodgkin-Huxley 模型对不同输入电流 i_{input} 的响应。

Background:

- Runge-Kutta 方法是一类用于求解初值问题的数值算法，通常用于近似求解常微分方程。其不同阶次有不同的公式，其中最常用的是**四阶 Runge-Kutta 方法 (RK4)**。RK4 在误差和计算复杂度之间有很好的平衡。

考虑微分方程 $\begin{cases} \frac{dy}{dx} = f(x, y) \\ y(x_0) = y_0 \end{cases}$ 的求解，其迭代公式为：

$$\begin{cases} x_{n+1} = x_n + h \\ k_1 = f(x_n, y_n) \\ k_2 = f(x_n + \frac{1}{2}h, y_n + \frac{1}{2}hk_1) \\ k_3 = f(x_n + \frac{1}{2}h, y_n + \frac{1}{2}hk_2) \\ k_4 = f(x_n + h, y_n + hk_3) \\ y_{n+1} = y_n + \frac{1}{6}h(k_1 + 2k_2 + 2k_3 + k_4) \end{cases} \quad (n = 0, 1, \dots)$$

不断迭代直到覆盖整个区间 $[x_0, x_{\text{end}}]$

- Hodgkin-Huxley 模型是一个含有四个微分方程的方程组。在空间钳位的乌贼巨型轴突的例子中 (只有 Na^+ , K^+ 离子且膜电位 V 与轴向位置 x 无关)，方程组如下：
 - 一个膜电位方程：

$$\begin{aligned} c_m \frac{dV(t)}{dt} &= i_{\text{input}} - g_{\text{Na}^+}(V - E_{\text{Na}^+}) - g_{\text{K}^+}(V - E_{\text{K}^+}) - g_{\text{leak}}(V - E_{\text{leak}}) \\ &= i_{\text{input}} - \bar{g}_{\text{Na}^+}m^2h(V - E_{\text{Na}^+}) - \bar{g}_{\text{K}^+}n^4(V - E_{\text{K}^+}) - g_{\text{leak}}(V - E_{\text{leak}}) \end{aligned}$$

其中 i_{input} 是电压钳在单位面积细胞膜上施加的输入电流 (回忆起空间钳位下输入电流是均匀分布在细胞膜上的)

- 三个通道门控参数方程：

$$\begin{aligned} \frac{dn}{dt} &= \phi[\alpha_n(V)(1 - n) - \beta_n(V)n] \\ \frac{dm}{dt} &= \phi[\alpha_m(V)(1 - m) - \beta_m(V)m] \\ \frac{dh}{dt} &= \phi[\alpha_h(V)(1 - h) - \beta_h(V)h] \end{aligned}$$

其中我们加入一个温度因子 ϕ ，实验进行时的温度还是很重要的。因为温度越高，门控开关的状态转换速率越快 (实际上它取决于温度的指数形式)

$$\phi = Q_{10}^{(T - T_{\text{base}})/10}$$

其中 Q_{10} 是从基准温度 T_{base} 开始，温度每增加 10K 的速率增长的倍数。对乌贼来说， $T_{\text{base}} = 6.3^\circ\text{C} = 279.45\text{K}$ ， $Q_{10} = 3$

- 为吻合数据，Hodgkin 和 Huxley 选择了以下参数值：

$$\begin{aligned}
c_m &= 1\mu\text{F}/\text{cm}^2 \\
\bar{g}_{\text{K}^+} &= 36\text{ mS}/\text{cm}^2 \\
\bar{g}_{\text{Na}^+} &= 120\text{ mS}/\text{cm}^2 \\
g_{\text{leak}} &= 0.3\text{ mS}/\text{cm}^2 \\
\hline
E_{\text{K}^+} &= -77\text{ mV} \\
E_{\text{Na}^+} &= 50\text{ mV} \\
E_{\text{leak}} &= -54.4\text{ mV} \\
\hline
\alpha_n(V) &= \frac{0.01(V + 55)}{1 - \exp\{-\frac{V+55}{10}\}} \\
\beta_n(V) &= 0.125 \exp\{-\frac{V + 65}{80}\} \\
\alpha_m(V) &= \frac{0.1(V + 40)}{1 - \exp\{-\frac{V+40}{10}\}} \\
\beta_m(V) &= 4 \exp\{-\frac{V + 65}{18}\} \\
\alpha_h(V) &= 0.07 \exp\{-\frac{V + 65}{20}\} \\
\beta_h(V) &= \frac{1}{1 + \exp\{-\frac{V+35}{10}\}}
\end{aligned}$$

并且 n, m, h 的初值 n_0, m_0, h_0 分别为 0.3177, 0.0529, 0.5961
 我们可计算出此情况下膜电位 V 的初值 (即静息膜电位) E_{rest} 为:

$$\begin{aligned}
E_{\text{rest}} &= \frac{g_{\text{Na}^+}E_{\text{Na}^+} + g_{\text{K}^+}E_{\text{K}^+} + g_{\text{leak}}E_{\text{leak}}}{g_m} \\
&= \frac{g_{\text{Na}^+}E_{\text{Na}^+} + g_{\text{K}^+}E_{\text{K}^+} + g_{\text{leak}}E_{\text{leak}}}{g_{\text{Na}^+} + g_{\text{K}^+} + g_{\text{leak}}} \\
&= \frac{(\bar{g}_{\text{Na}^+}n_0^4)E_{\text{Na}^+} + (\bar{g}_{\text{K}^+}m_0^3h_0)E_{\text{K}^+} + (\bar{g}_{\text{leak}})E_{\text{leak}}}{(\bar{g}_{\text{Na}^+}n_0^4) + (\bar{g}_{\text{K}^+}m_0^3h_0) + (\bar{g}_{\text{leak}})} \\
&\approx -65.0048\text{ mV}
\end{aligned}$$

(1) Code

使用 RK4 算法模拟 Hodgkin-Huxley 模型的 Matlab 代码如下:

① 根据微分方程组计算导数的函数 `compute_derivatives`:

```
function dydt = compute_derivatives(V, n, m, h, i_input, c_m, g_K, g_Na, g_leak, E_K,
E_Na, E_leak, phi)
% 微分方程组
alpha_n = 0.01 * (V + 55) / (1 - exp(-(V + 55) / 10));
beta_n = 0.125 * exp(-(V + 65) / 80);
alpha_m = 0.1 * (V + 40) / (1 - exp(-(V + 40) / 10));
beta_m = 4 * exp(-(V + 65) / 18);
alpha_h = 0.07 * exp(-(V + 65) / 20);
beta_h = 1 / (1 + exp(-(V + 35) / 10));

% 计算导数
dvdt = (i_input - g_K * (n^4) * (V - E_K) ...
        - g_Na * (m^3) * h * (V - E_Na) ...
        - g_leak * (V - E_leak)) / c_m;

dn_dt = (alpha_n * (1 - n) - beta_n * n) * phi;
```

```

dm_dt = (alpha_m * (1 - m) - beta_m * m) * phi;
dh_dt = (alpha_h * (1 - h) - beta_h * h) * phi;

dydt = [dVdt; dn_dt; dm_dt; dh_dt];
end

```

② RK4 算法迭代步骤 rk4_step:

```

function [k1, k2, k3, k4] = rk4_step(V, n, m, h, i_input, dt, c_m, g_K, g_Na, g_leak,
E_K, E_Na, E_leak, phi)
    % RK4 步骤计算
    k1 = compute_derivatives(V, n, m, h, i_input, c_m, g_K, g_Na, g_leak, E_K, E_Na,
E_leak, phi);
    k2 = compute_derivatives(V + 0.5 * dt * k1(1), n + 0.5 * dt * k1(2), ...
m + 0.5 * dt * k1(3), h + 0.5 * dt * k1(4), ...
i_input, c_m, g_K, g_Na, g_leak, E_K, E_Na, E_leak,
phi);
    k3 = compute_derivatives(V + 0.5 * dt * k2(1), n + 0.5 * dt * k2(2), ...
m + 0.5 * dt * k2(3), h + 0.5 * dt * k2(4), ...
i_input, c_m, g_K, g_Na, g_leak, E_K, E_Na, E_leak,
phi);
    k4 = compute_derivatives(V + dt * k3(1), n + dt * k3(2), ...
m + dt * k3(3), h + dt * k3(4), ...
i_input, c_m, g_K, g_Na, g_leak, E_K, E_Na, E_leak,
phi);
end

```

③ 根据输入电流计算 Hodgkin-Huxley 模型的函数 Hodgkin_Huxley_model:

```

function [V, time, n, m, h] = Hodgkin_Huxley_model(i_input, input_time, T)
    % 参数定义
    c_m = 1; % 膜电容 (μF/cm^2)
    g_K = 36; % K+ 通道的最大导电性 (mS/cm^2)
    g_Na = 120; % Na+ 通道的最大导电性 (mS/cm^2)
    g_leak = 0.3; % 漏电导 (mS/cm^2)

    E_K = -77; % K+ 平衡电位 (mV)
    E_Na = 50; % Na+ 平衡电位 (mV)
    E_leak = -54.4; % 漏电位 (mV)

    % Hodgkin_Huxley 温度修正因子
    Q_10 = 3; % 增长因子
    T_base = 6.3; % 基准温度 (单位为摄氏度)
    phi = Q_10^((T-T_base)/10);

    % 门控变量初始值
    n0 = 0.3177; % 初始 n 变量
    m0 = 0.0529; % 初始 m 变量
    h0 = 0.5961; % 初始 h 变量

    % 计算静息膜电位 (mV)
    ratio = [g_K * (n0 ^ 4); g_Na * (m0 ^ 3) * h0; g_leak];
    ratio = ratio ./ sum(ratio);
    V_rest = ratio(1) * E_K + ratio(2) * E_Na + ratio(3) * E_leak;

    % 时间参数
    dt = 0.01; % 时间步长 (ms)
    time = 0:dt:input_time(3); % 从起始时刻 (0ms) 到结束时刻 (ms) 的时间向量

```

```

% 结果初始化
v = zeros(length(time), length(i_input));
n = zeros(length(time), length(i_input));
m = zeros(length(time), length(i_input));
h = zeros(length(time), length(i_input));
v(1, :) = v_rest; % 初始化所有输入电流的 v 值为静息膜电位
n(1, :) = n0;
m(1, :) = m0;
h(1, :) = h0;

% RK4 方法
for j = 1:length(i_input) % 遍历每个输入电流
    % 静息状态
    current_input = 0;
    for i = 1: (input_time(1) / dt) - 1
        % RK4 step 近似计算导数
        [k1, k2, k3, k4] = rk4_step(v(i, j), n(i, j), m(i, j), h(i, j),
current_input, ...
                                dt, c_m, g_K, g_Na, g_leak, E_K, E_Na, E_leak,
phi);

        % 更新膜电位值
        v(i+1, j) = v(i, j) + (1/6) * dt * (k1(1) + 2*k2(1) + 2*k3(1) + k4(1));
        % 更新门控参数值
        n(i+1, j) = n(i, j) + (1/6) * dt * (k1(2) + 2*k2(2) + 2*k3(2) + k4(2));
        m(i+1, j) = m(i, j) + (1/6) * dt * (k1(3) + 2*k2(3) + 2*k3(3) + k4(3));
        h(i+1, j) = h(i, j) + (1/6) * dt * (k1(4) + 2*k2(4) + 2*k3(4) + k4(4));
    end

    % 输入电流
    current_input = i_input(j);
    for i = (input_time(1) / dt):(input_time(2) / dt) - 1
        % RK4 step 近似计算导数
        [k1, k2, k3, k4] = rk4_step(v(i, j), n(i, j), m(i, j), h(i, j),
current_input, ...
                                dt, c_m, g_K, g_Na, g_leak, E_K, E_Na, E_leak,
phi);

        % 更新膜电位值
        v(i+1, j) = v(i, j) + (1/6) * dt * (k1(1) + 2*k2(1) + 2*k3(1) + k4(1));
        % 更新门控参数值
        n(i+1, j) = n(i, j) + (1/6) * dt * (k1(2) + 2*k2(2) + 2*k3(2) + k4(2));
        m(i+1, j) = m(i, j) + (1/6) * dt * (k1(3) + 2*k2(3) + 2*k3(3) + k4(3));
        h(i+1, j) = h(i, j) + (1/6) * dt * (k1(4) + 2*k2(4) + 2*k3(4) + k4(4));
    end

    % 输入电流被切断
    current_input = 0;
    for i = (input_time(2) / dt): length(time) - 1
        % RK4 step 近似计算导数
        [k1, k2, k3, k4] = rk4_step(v(i, j), n(i, j), m(i, j), h(i, j),
current_input, ...
                                dt, c_m, g_K, g_Na, g_leak, E_K, E_Na, E_leak,
phi);

        % 更新膜电位值
        v(i+1, j) = v(i, j) + (1/6) * dt * (k1(1) + 2*k2(1) + 2*k3(1) + k4(1));
        % 更新门控参数值
        n(i+1, j) = n(i, j) + (1/6) * dt * (k1(2) + 2*k2(2) + 2*k3(2) + k4(2));
        m(i+1, j) = m(i, j) + (1/6) * dt * (k1(3) + 2*k2(3) + 2*k3(3) + k4(3));
        h(i+1, j) = h(i, j) + (1/6) * dt * (k1(4) + 2*k2(4) + 2*k3(4) + k4(4));
    end
end
end
end

```

④ 绘制模型输出的图像的函数 `plot_results`:

```
function plot_results(V, time, n, m, h, i_input, input_time, T)

    % 绘制膜电位
    figure;
    subplot(4, 1, 1); % 创建四个子图, 当前在第一个
    hold on; % 保持当前图形, 允许多次绘制
    for i = 1:length(i_input)
        plot(time, V(:, i), 'DisplayName', sprintf('i_{input} = %d  $\mu\text{A}/\text{cm}^2$ ',
i_input(i)));
        end

    % 绘制输入电流的起始和终止时刻
    y_limits = ylim; % 获取当前y轴范围
    for i = 1:2
        plot([input_time(i), input_time(i)], y_limits, 'r--', 'Linewidth', 0.5,
'HandleVisibility', 'off'); % 红色虚线
        end

    % 添加静息电位的辅助线
    resting_potential = V(1, 1); % 使用 V(1, :) 中的第一个元素作为静息电位
    yline(resting_potential, 'k--', 'Resting Potential', 'Linewidth', 1,
'HandleVisibility', 'off'); % 添加辅助线

    title('Hodgkin-Huxley Model Action Potential');
    xlabel('Time (ms)');
    ylabel('Membrane Potential (mV)');
    legend show; % 显示图例
    grid on;

    % 绘制 n 的变化
    subplot(4, 1, 2); % 当前在第二个子图
    hold on;
    for i = 1:length(i_input)
        plot(time, n(:, i), 'DisplayName', sprintf('i_{input} = %d  $\mu\text{A}/\text{cm}^2$ ',
i_input(i)));
        end

    title('Gate variable n');
    xlabel('Time (ms)');
    ylabel('n');
    legend show;
    grid on;

    % 绘制 m 的变化
    subplot(4, 1, 3); % 当前在第三个子图
    hold on;
    for i = 1:length(i_input)
        plot(time, m(:, i), 'DisplayName', sprintf('i_{input} = %d  $\mu\text{A}/\text{cm}^2$ ',
i_input(i)));
        end
    title('Gate variable m');
    xlabel('Time (ms)');
    ylabel('m');
    legend show;
    grid on;

    % 绘制 h 的变化
```



```

subplot(4, 1, 4); % 当前在第四个子图
hold on;
for i = 1:length(i_input)
    plot(time, h(:, i), 'DisplayName', sprintf('i_{input} = %d  $\mu\text{A}/\text{cm}^2$ ',
i_input(i)));
end
title('Gate variable h');
xlabel('Time (ms)');
ylabel('h');
legend show;
grid on;

% 单独绘制膜电位
figure;
hold on; % 保持当前图形, 允许多次绘制
for i = 1:length(i_input)
    plot(time, V(:, i), 'Linewidth', 2, 'DisplayName', sprintf('i_{input} = %d
 $\mu\text{A}/\text{cm}^2$ ', i_input(i)));
end

% 绘制输入电流的起始和终止时刻
y_limits = ylim; % 获取当前y轴范围
for i = 1:2
    plot([input_time(i), input_time(i)], y_limits, 'r--', 'Linewidth', 0.5,
'HandleVisibility', 'off'); % 红色虚线
end

% 添加静息电位的辅助线
resting_potential = V(1, 1); % 使用 V(1, :) 中的第一个元素作为静息电位
yline(resting_potential, 'k--', 'Resting Potential', 'Linewidth', 1,
'HandleVisibility', 'off'); % 添加辅助线

% 定义脉冲电流的幅度
pulse_amplitude = -80;

% 将脉冲信号与零值补齐 (保持与时间向量相同长度)
full_pulse_signal = -85 * ones(size(time));
full_pulse_signal(time >= input_time(1) & time <= input_time(2)) =
pulse_amplitude;

% 绘制脉冲信号作为输入电流
plot(time, full_pulse_signal, 'r-', 'Linewidth', 1, 'DisplayName', 'Input Current
Pulse');

% 自动选择温度标注位置
y_limits = ylim; % 获取当前 y 轴范围
text_x = 0.3 * max(time); % x 轴位置, 设置为 10% 的时间范围
text_y = y_limits(1) + 0.9 * (y_limits(2) - y_limits(1)); % y 轴位置, 设置为 y 轴范围
的 90%

% 添加温度标注
text(text_x, text_y, sprintf('Temperature: %.1f  $^{\circ}\text{C}$ ', T), 'FontSize', 10, 'color',
'k');

% 图像信息
title('Hodgkin-Huxley Model Action Potential with Input Current Pulse');
xlabel('Time (ms)');
ylabel('Membrane Potential (mV)');
legend show; % 显示图例
grid on;

```

end

⑤ 函数调用:

```
% 输入电流 ( $\mu\text{A}/\text{cm}^2$ ) 的数组
i_input = [1, 2, 4, 8, 10, 15];

% 输入电流的起始和终止时刻 (ms)
input_time = [1; 3; 20];

% 实验温度 ( $^{\circ}\text{C}$ )
T = 6.3;

% Hodgkin-Huxley 模型的响应
[V, time, n, m, h] = Hodgkin_Huxley_model(i_input, input_time, T);

% 绘制结果
plot_results(V, time, n, m, h, i_input, input_time,);
```

(2) Outcome

我将单位面积细胞膜的输入电流的值设为 1, 2, 4, 8, 10, 15 (单位为 $\mu\text{A}/\text{cm}^2$)

并将实验温度区间以 $T_{\text{base}} = 6.3^{\circ}\text{C}$ 为基准设为 $[-43.7^{\circ}\text{C}, 36.3^{\circ}\text{C}]$

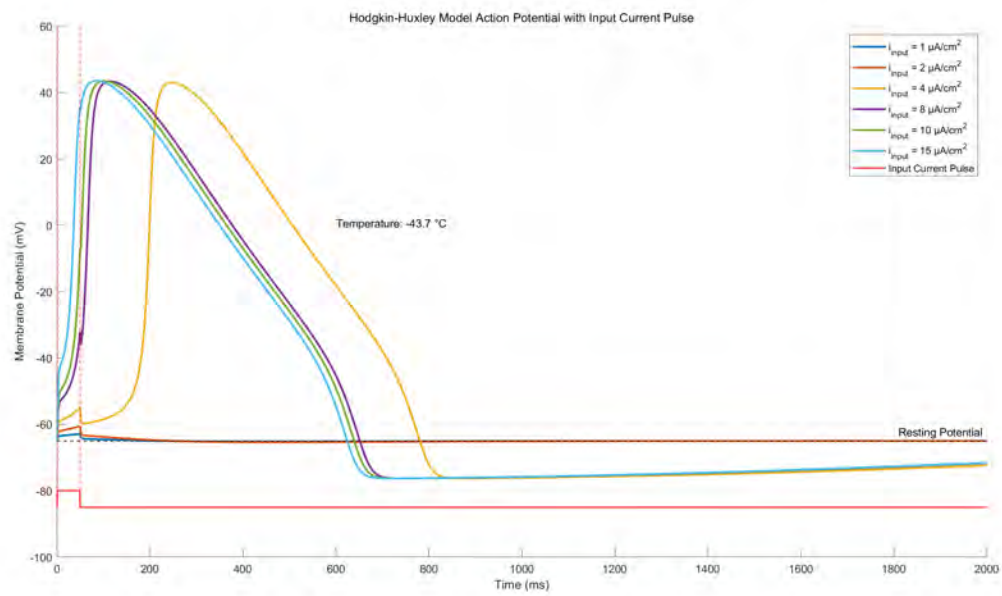
输入电流的持续时间见下表:

Temperature($^{\circ}\text{C}$)	-43.7	-33.7	-23.7	-13.7	-3.7	6.3	16.3	26.3	36.3
Lasting time of input current(ms)	50	20	8	4	3	2	2	1	4

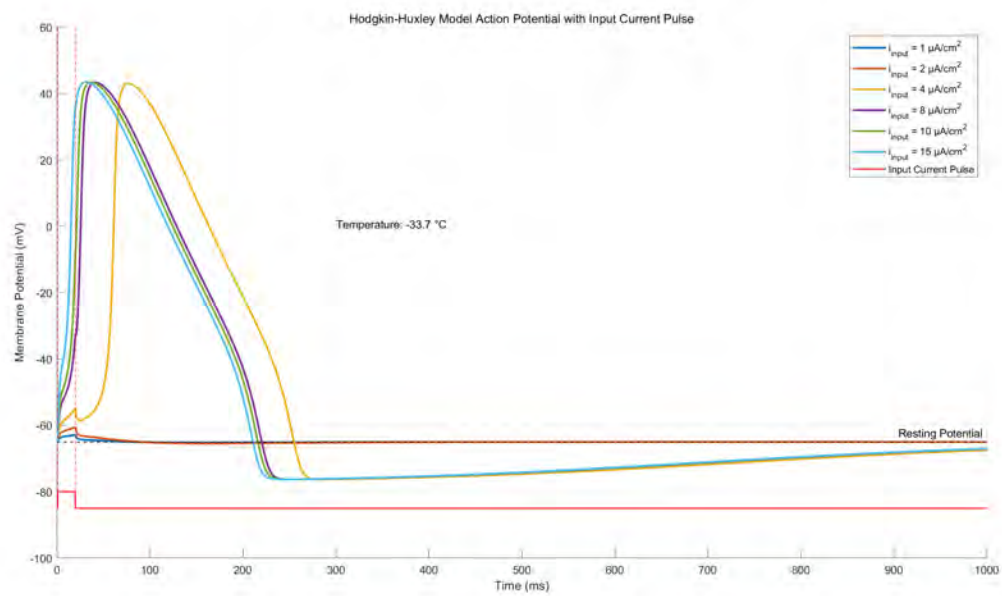
经过实验我们发现:

- 随着温度 T 升高, 可以引发动作电位的输入电流的持续时间越来越短, 动作电位恢复至静息电位的时间越来越短.
这反映了温度升高可以增加电压门控离子通道的活性, 并增大离子的热力学能, 使离子跨膜能力增强. 表现为神经元对外界刺激的敏感性增加, 动作电位恢复至静息电位的能力增强, 可产生动作电位的频率变高.
- 但当温度 T 比 $T_{\text{base}} = 6.3^{\circ}\text{C}$ 大 20°C 左右时, Hodgkin-Huxley 模型基本上就失效了.
这是合理的:
因为 Hodgkin-Huxley 模型的数据是根据枪乌贼的巨型轴突建立的, 而枪乌贼的生活温度普遍低于 27°C
- 持续长时间的较大输入电流可以引发神经元周期性的动作电位.

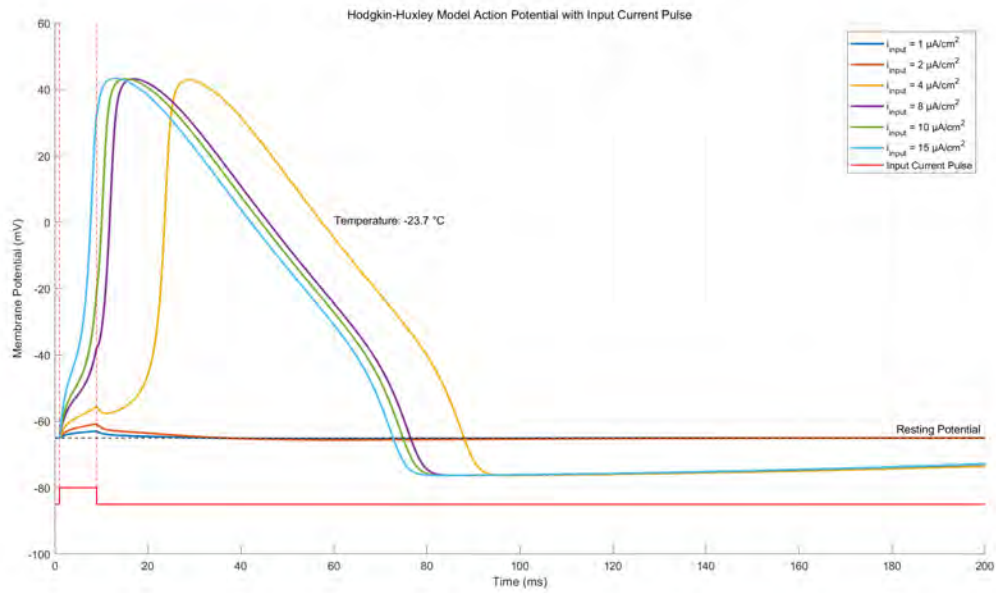
④ 实验温度 -43.7°C , 电流持续时间 50ms:



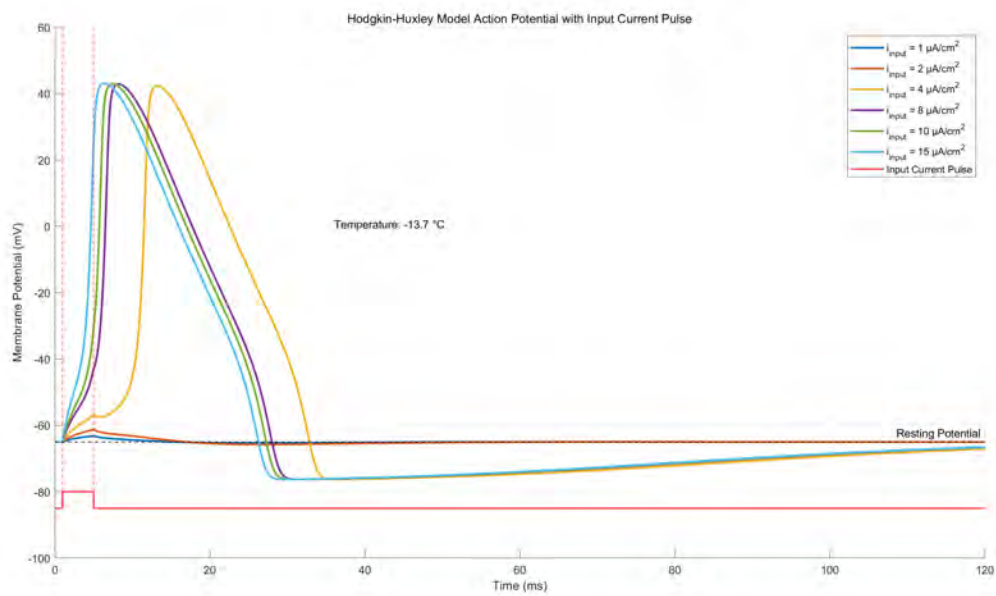
② 实验温度 -33.7°C , 电流持续时间 20ms:



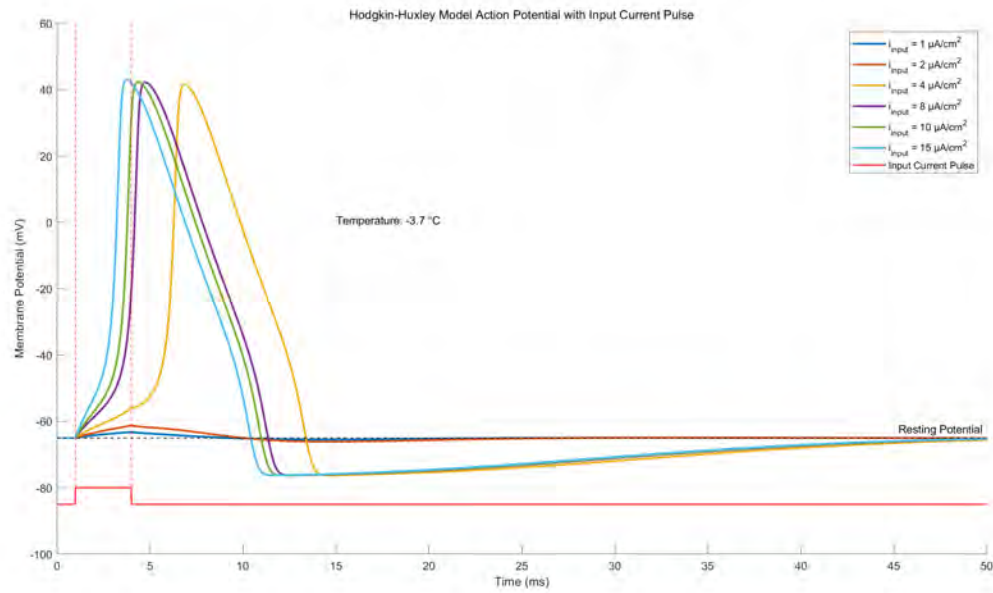
③ 实验温度 -23.7°C , 电流持续时间 8ms:



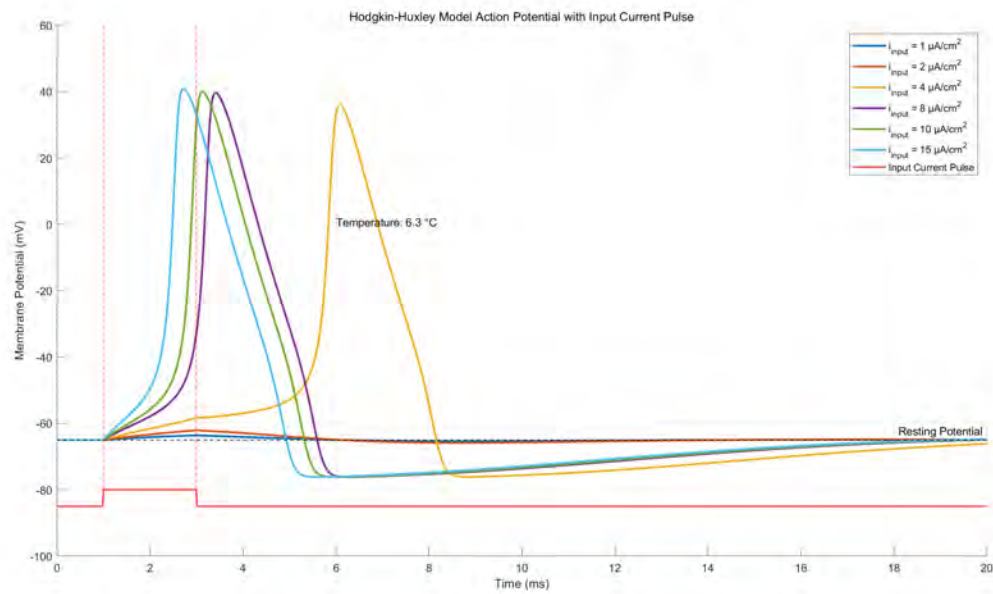
④ 实验温度 -13.7°C , 电流持续时间 4ms:



⑤ 实验温度 -3.7°C , 电流持续时间 3ms:

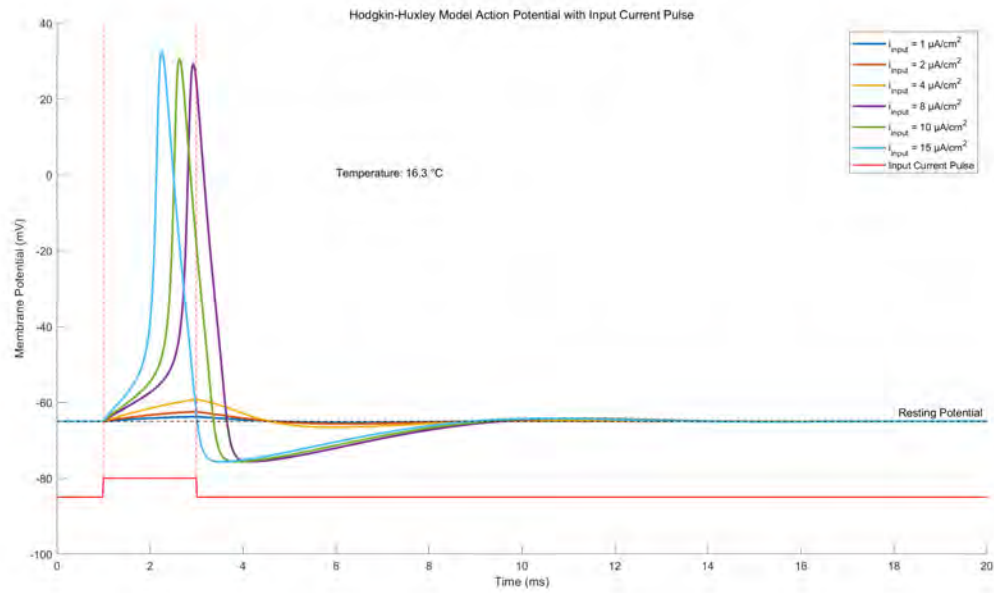


⑥ 实验温度 6.3°C , 电流持续时间 2ms:

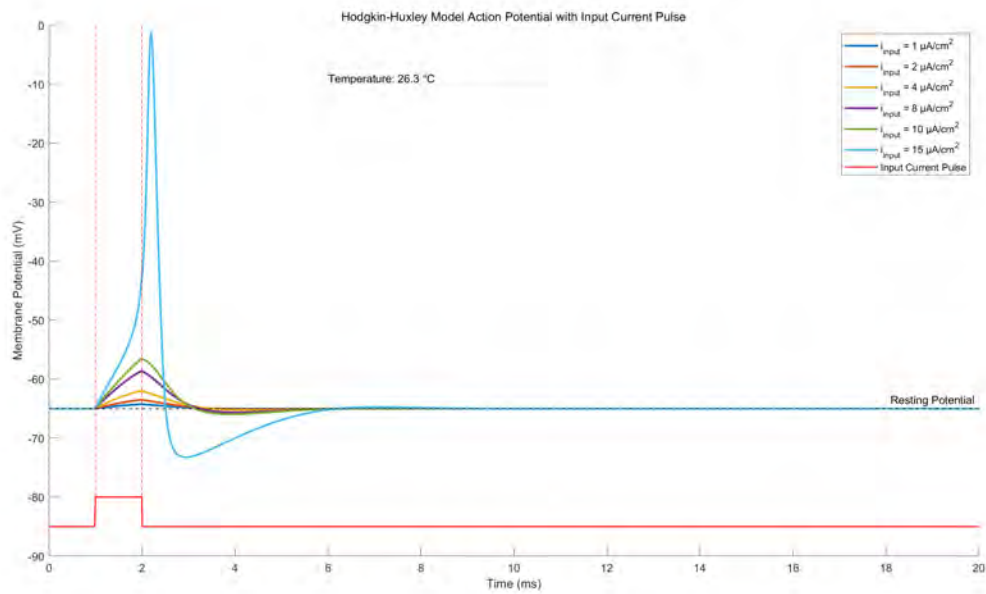


⑦ 实验温度 16.3°C , 电流持续时间 2ms:

(随着温度 T 升高, 可以引发动作电位的输入电流的持续时间越来越短, 动作电位恢复至静息电位的时间越来越短.)

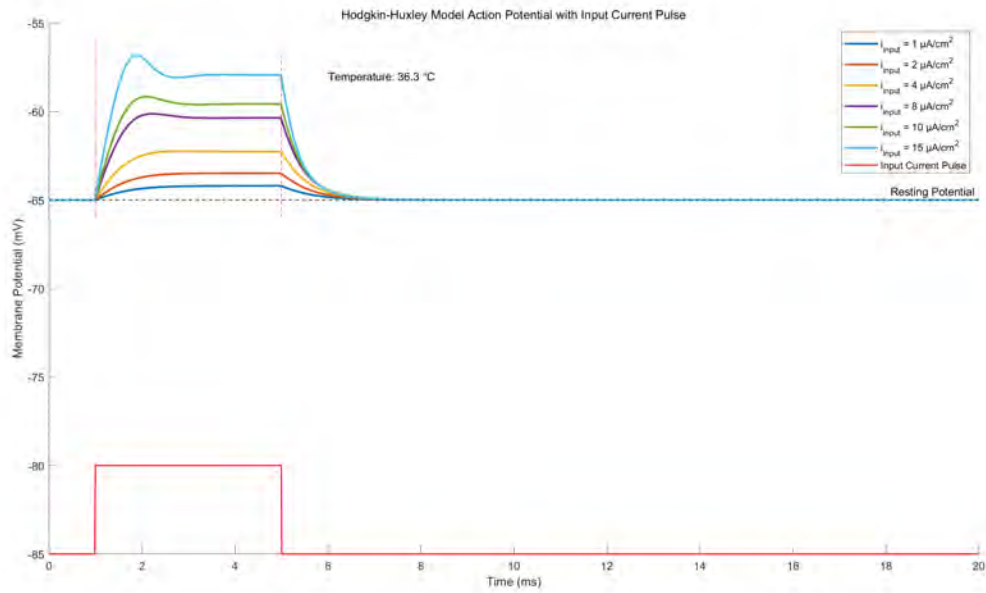


⑧ 实验温度 26.3 °C, 电流持续时间 1ms:



⑨ 实验温度 36.3 °C, 电流持续时间 4ms:

(当温度 T 比 $T_{\text{base}} = 6.3^\circ\text{C}$ 大 20°C 左右时, Hodgkin-Huxley 模型基本上就失效了)



⑩ 实验温度 6.3°C , 电流持续时间 100ms:
(持续长时间的较大输入电流可以引发神经元周期性的动作电位)

